

مطالعه جایگاه تکتونیکی، شواهد دگرسانی و پتانسیل‌های معدنی در گدازه‌های آلکالن جوان منطقه ناسفنده (شمال شرق نهبندان، شرق ایران)، با نگاهی بر انکلاوهای آن

عصمت علی‌شاھی^{۱*}، محمد حسین زرین کوب^۲

۱- مدرس آموزشکده معدن نهبندان

۲- دانشیار گروه زمین‌شناسی، دانشگاه بیرجند

پذیرش مقاله: ۱۳۹۳/۱۱/۲۴

تأیید نهایی مقاله: ۱۳۹۴/۲/۱۰

چکیده

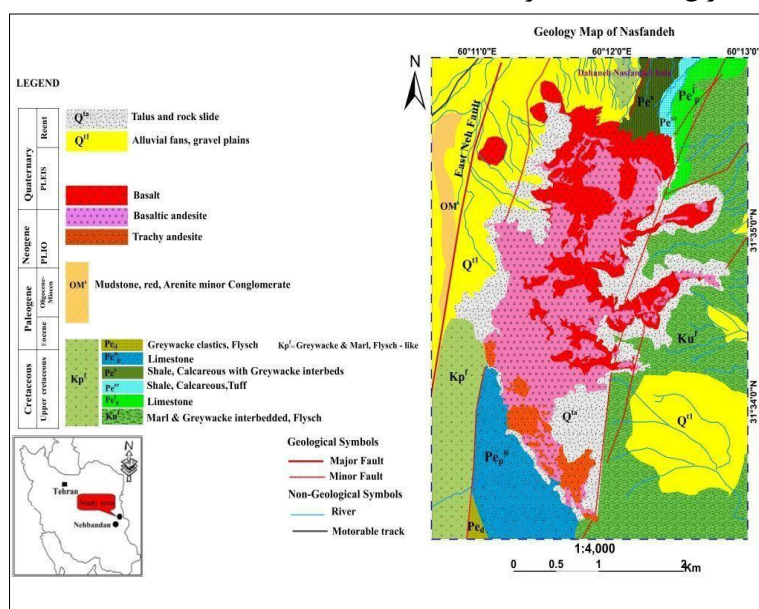
در شمال شرق نهبندان و در بخش شمالی ایالت ساختاری سیستان، واحدهای پراکنده‌ای از گدازه‌های آلکالن پلیو-کواترنری وجود دارد که تنوع سنگ‌شناسی آنها بر اساس مطالعات صورت گرفته شامل الیوین بازالت، بازالت، آندزیت بازالت و تراکی آندزیت با بافت غالب پورفیری با خمیره میکرولیتی، جریانی و حفره‌ای می‌باشد. فنوکریست‌های غالب آنها را آمفیبیول، کلینوپیروکسن و الیوین تشکیل می‌دهند. با توجه به بررسی‌های پتروگرافی انجام شده در منطقه مورد مطالعه، انکلاوهای متادیوریتی، آمفیبیولیتی و پیروکسنیتی تشخیص داده شد. دگرسانی پروپیلیتیک در این سنگ‌ها متداول است. گدازه‌های مذکور بر روی پارگی سرشاخه خاوری گسل نه قرار گرفته‌اند. شواهدی از قبیل بافت حفره‌ای، دگرسانی پروپیلیتیک و قرارگیری بر روی گسل نه، حاکی از احتمال بالای وجود پتانسیل‌های معدنی از نوع اپی ترمال است. شواهد صحرایی و اطلاعات به دست آمده از تصاویر ماهواره‌ای نشان می‌دهد که فعالیت ولکانیکی ناسفنده از نوع شکافی بوده و با توجه به جوان بودن آن شرایط ایجاد یک چرخه گرمابی را دارد. این سنگ‌ها ماهیت آلکالن داشته و بر اساس ویژگی‌های عناصر کمیاب معرف ولکانیسم درون صفحه‌ای می‌باشند و از یک منشاء گوشته‌ای غنی‌شده با درجات ذوب‌بخشی کم در میدان پایداری گارنت (احتمالاً در استنسوسفر) شکل گرفته‌اند که در اثر کشش‌های محلی به سطح زمین راه یافته‌اند.

واژه‌های کلیدی: آلکالن، اپی ترمال، انکلاو، درون صفحه‌ای، نهبندان.

ناسفنده، سنگ‌های آتشفسانی جوانی وجود دارد که به منظور بررسی احتمال کانه‌زایی اپی‌ترمال با استفاده از شواهد صحرایی و مطالعات پتروگرافی مورد بررسی قرار گرفته است. ذخایر اپی‌ترمال عمدتاً در دمایی بین ۵۰ تا ۳۰۰ درجه سانتی‌گراد و فشاری معادل با عمق بین ۵۰ تا ۱۰۰۰ متر شکل می‌گیرند (کوک و سیمونز، ۲۰۰۰؛ هدنکوئیست و همکاران، ۲۰۰۰؛ شهاب پور، ۱۳۹۰). همچنین از جمله پدیده‌های قابل اهمیت در این ولکانیک‌ها می‌توان به حضور بیگانه بلورها و همین‌طور بیگانه سنگ‌ها اشاره کرد. در این پژوهش تلاش شده است تا به همراه مطالعه شرایط تشکیل و تعیین جایگاه زمین ساختی، شواهد و پتانسیل‌های کانه‌زایی احتمالی همراه با این مجموعه‌های ولکانیکی جوان در شرق ایران بررسی شود و با توجه به مشاهده انکلاو دراین سنگ‌ها و مطالعه پتروگرافی این انکلاوها به یافته‌های جدیدی در مورد این واحدهای جوان دست پیدا کرد.

مقدمه

سنگ‌های آتشفسانی پلیو-کواترنری در ایران در گستره‌های خاصی رخمنون دارند. این سنگ‌ها عمداً ارتباط نزدیکی با گسل‌های امتداد لغز دارند (والکر و همکاران، ۲۰۰۹). کوه ناسفنده یک توده آتشفسانی با مساحت تقریبی ۲۵ کیلومتر مربع و ارتفاع ۱۷۰۶ متر با موقعیت جغرافیایی $11^{\circ}40'N$ تا $13^{\circ}60'E$ طول خاوری و عرض جغرافیایی $32^{\circ}31'N$ تا $38^{\circ}31'E$ شمالی، بلندترین رخمنون سنگی قابل توجه در فاصله ۱۵ کیلومتری شمال شرقی نهبندان می‌باشد و بر روی سیستم گسل نهبندان قرار گرفته است (شکل ۱). این گستره در بخش شمالی پهنه جوش‌خورده سیستان (تیرول و همکاران، ۱۹۸۳) واقع شده است. زون جوش-خورده سیستان به عنوان بقایایی از یک باریکه اقیانوسی است که بین بلوك افغان و پهنه لوت وجود داشته است. این باریکه اقیانوسی به عنوان یکی از سرشاخه‌های نئوتیس بوده که در اواخر ۲۰۱۰ کرتاسه بسته شده است (بروکر و همکاران، ۲۰۱۲؛ زرین‌کوب و همکاران، ۲۰۱۲).



شکل ۱: نقشه زمین‌شناسی و موقعیت جغرافیایی منطقه مورد مطالعه، واحدهای رسوبی به نقل از نقشه ۱:۱۰۰,۰۰۰ نهندان (علوی نائینی و لطفی، ۱۹۸۹).

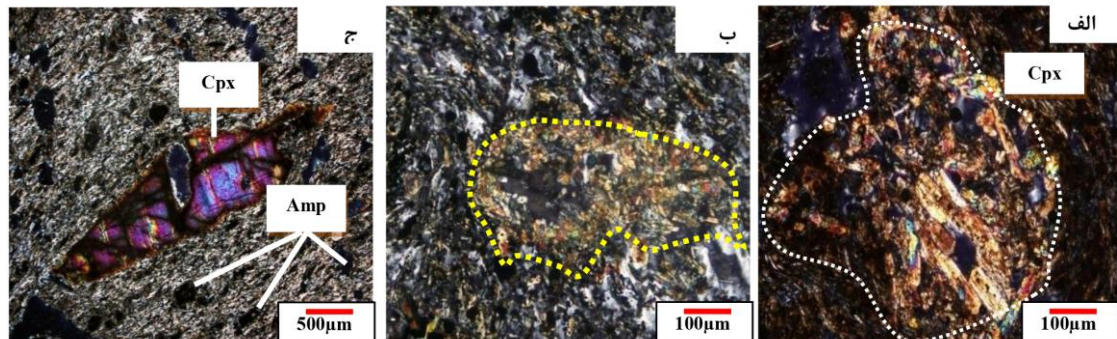
مواد و روش‌ها

خمیره میکرولیتی، جریانی و حفره‌ای می‌باشد. کانی‌های موجود در این سنگ‌ها را پلازیوکلаз، کلینوپیروکسن (اوژیت)، آمفیبول، الیوین، آلکالی فلدسپار و کانی‌های اپاک تشکیل می‌دهند. از ویژگی‌های قابل ذکر در آندزیت بازالت‌ها وجود دو نسل پیروکسن است. نسل اول شامل بیگانه بلورهای دیوپسید-اوژیت است (شکل ۲: الف) و نسل دوم عبارت از فنوکریست‌های کلینوپیروکسن است که در خمیره میکرولیتی قرار گرفته‌اند (شکل ۲: ج). بیگانه بلورها می‌توانند نشانه‌هایی از سنگ اولیه ذوب نشده گوشه‌های فوقانی باشند که در ماقماًی در حال صعود به دام افتاده‌اند (استرانلی و همکاران، ۱۹۷۹). وجود این بیگانه بلورها در بازالت‌های ناسفنده نیز مشاهده می‌شود (شکل ۲: ب).

این پژوهش بر مبنای عکس‌های ماهواره‌ای (تهیه شده بوسیله نرم افزار Mr-Sid)، نقشه‌های زمین شناسی، بازدید صحرايی، نمونه‌برداری، تهیه مقاطع نازک و مطالعات ژئوشيميايی انجام شده است. در اين راستا تعداد ۱۲۰ نمونه از سنگ‌های منطقه مورد مطالعه نمونه برداری شده، از آنها مقطع نازک تهیه و مطالعه شدند. تعداد ۱۰ نمونه برای آناليز عنصر اصلی و کمياب به روش‌های ICP و ICP-MMS انتخاب و به آزمایشگاه SGS کانادا ارسال گردیده است.

نتایج و بحث

جنس سنگ‌های مجموعه آتشفسانی ناسفنده از الیوین بازالت تا بازالت، آندزیت بازالت و تراکی آندزیت متغير است. بافت عمدی آنها پورفیری با



شکل ۲: الف: بیگانه بلورهای پیروکسن در آندزیت بازالت‌های ناسفنده (XPL)، ب: بیگانه بلورهای پیروکسن در بازالت‌های ناسفنده (XPL)، ج- فنوکریست کلینوپیروکسن، عالیم اختصاری استفاده شده ازویتنی و ایونز (۲۰۱۰)، Amp: آمفیبول، Cpx: کلینوپیروکسن.

شرقی و مرکزی ایران گسترش دارند. در منطقه ناسفنده، فعالیت آتشفسانی منسوب به کواترنری از یک طرف و بروز شکستگی‌های فراوان ناشی از عملکرد گسل نهبتدان از طرف دیگر و همچنین فراوانی حفرات باعث ایجاد پتانسیل مناسب برای رخداد نهشت‌های اپی‌ترمال در منطقه مورد

بورسی شواهد کانه‌زایی اپی‌ترمال در منطقه: در نهشت‌های گرمایی، توده‌های آذرین به عنوان منبع گرمایی و بسیاری از ترکیبات شیمیایی سیال گرمابی عمل می‌کنند (بارتون و جانسون، ۲۰۰۰). براساس مطالعات والکر و همکاران (۲۰۰۹)، سنگ‌های آتشفسانی پلیو-کواترنری در بخش

یافته است که شرایط مناسب را برای ایجاد یک چرخه برای آب‌های جوی فراهم نموده است. سیال جوی به طرف پایین کشیده می‌شود و همراه با زبانه‌های آب گرم‌تر که به سوی بالا حرکت می‌کند، آمیخته و تهنشست فلزات را تشدید می‌کند (راب، ۲۰۰۵). عبور محلول‌های گرمابی چرخشی از میان شکاف‌ها می‌تواند اجزاء شیمیایی را از توالی‌های سنگ‌های آتش‌فشنایی در خود حل و سپس آنها را در حفرات بر جا بگذارد (ورنون، ۲۰۰۴).



ب

مطالعه شده است. وجود تخلخل‌های فراوان در سنگ‌های آتش‌فشنایی ناسفنه، این پتانسیل را افزایش داده است. آب‌های زیرزمینی در امتداد گسل‌های منطقه به سمت بالا حرکت کرده و در ایجاد دگرسانی‌ها سهیم شده‌اند (خطیب و همکاران، ۱۳۸۷).

مشاهدات صحرایی: در زیر مجموعه آتش‌فشنایی ناسفنه، یک افق برشی حاوی اکسید آهن به رنگ قرمز ملاحظه می‌گردد (شکل ۳: الف و ب). در این افق برشی شکستگی‌های فراوانی گسترش



الف

شکل ۳: الف و ب: افق‌های برشی حاوی اکسید آهن دارای لایه‌بندی و قرار گیری واحد آتش‌فشنایی بر روی آنها.

شکستگی‌های ناشی از جای‌گیری توده‌ی ولکانیکی ناسفنه، مکانی مناسب برای عبور سیالات کانه‌دار و نهشت آنها در واحدهای رسوبی را فراهم آورده است که پیامد آن تشکیل افق‌های حاوی اکسید آهن است.



ب

افق‌های برشی حاوی قطعات مختلفی از سنگ‌های مافیک و اولترامافیک همراه با قطعات آتش‌فشنایی و سنگ‌های رسوبی می‌باشند (شکل ۴: الف و ب). رنگ قرمز این افق برشی حاکی از بالا بودن اکسید آهن در آن می‌باشد. درز و شکاف‌های اخیر و



الف

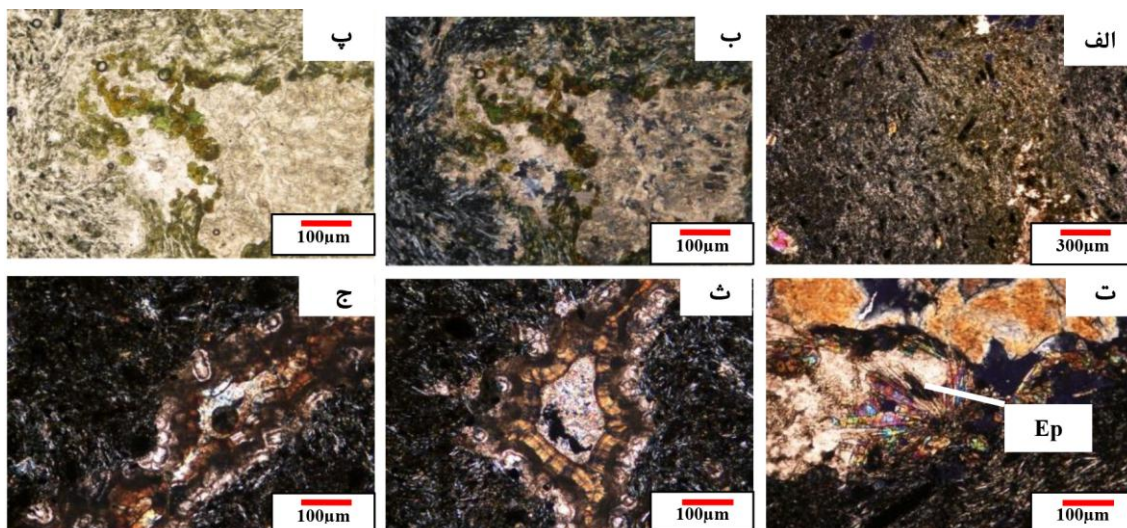
شکل ۴: الف و ب: واحدهای برشی موجود در منطقه

پروپیلیتیک در منطقه مورد مطالعه بر پایه ویژگی‌های کانی‌شناختی به سه بخش کلریتی-اپیدوتی، اپیدوتی و هماتیتی قابل تقسیم است. دگرسانی کلریتی-اپیدوتی: این دگرسانی به صورت غیر یکنواخت و پراکنده در آندزیت بازالت‌ها و بازالت‌های منطقه مشاهده می‌شود (شکل ۵: الف و ب و پ). دگرسانی در این زون منجر به کلریتی شدن کانی‌های فرومینیزین (اوژیت و منیزیوهرنبلندر) شده و در برخی از بخش‌ها شدت دگرسانی به حدی است که کانی اولیه آن قابل تشخیص نیست. کلریت‌ها می‌توانند از دگرسانی کانی‌های مافیک موجود در سنگ تشکیل شوند و یا به واسطه ورود آهن و منیزیم به سنگ بوسیله محلول گرمابی بوجود آیند (ایونز، ۱۹۹۲؛ کریم‌پور، ۱۳۸۱).

اپیدوتی شدن: سنگ‌های مربوط به دگرسانی اپیدوتی شدن (شکل ۵: ت) را آندزیت بازالت‌های حفره‌دار تشکیل می‌دهند که دارای تخلخل بالایی هستند. منافذ موجود در این سنگ‌ها گذرگاه‌های مناسبی برای گذر محلول گرمابی بوده‌اند. این نوع دگرسانی همراه با نفوذ محلول‌های هیدرولترمال در دمای ۲۰۰ تا ۳۰۰ درجه سانتی‌گراد رخ می‌دهد (پورا و همکاران، ۲۰۰۴).

هماتیتی شدن: در این سنگ‌ها هماتیت جانشین کانی‌های فرومینیزین شده و در زمینه سنگ نیز به فراوانی قابل مشاهده است (شکل ۵: ث و ج).

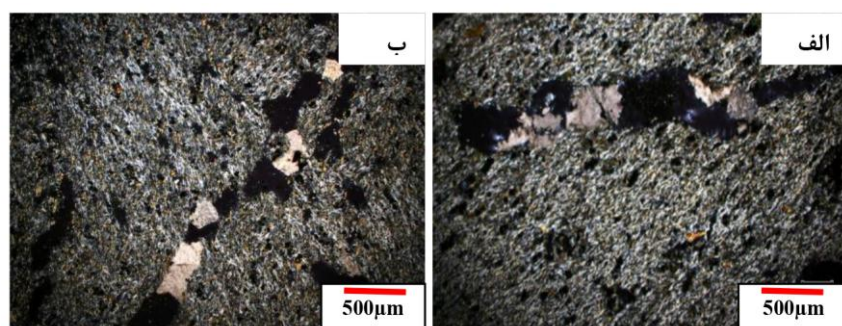
دگرسانی گرمابی و کانه‌زایی: بررسی‌های سنگ شناختی نشان می‌دهد که سنگ‌های آتشفسانی منطقه، دستخوش دگرسانی‌های گرمابی شده‌اند. یکی از موضوعات جالب توجه در کانسارهای اپی ترمال دگرسانی گرمابی است که به عنوان ابزاری سودمند برای اکتشاف این کانسارها به کار می‌رود (سیلبرمن و برگر، ۱۹۸۵). دگرسانی گرمابی با تشکیل کانی‌های گرمابی متنوعی همراه است که اغلب به تغییرات دما و PH حساس بوده (هدنکوئیست و همکاران، ۲۰۰۰) و می‌تواند اطلاعات مفیدی را درباره ویژگی‌های فیزیکی و شیمیایی محلول گرمابی ارائه نماید (وارن و همکاران، ۲۰۰۷). امروزه رابطه بین دگرسانی و فرایندهای گرمابی تشکیل کانسنگ به خوبی اثبات شده است. شناسایی انواع دگرسانی به عنوان ابزار مهمی در اکتشاف به کار می‌رود (راب، ۲۰۰۵). سنگ‌های منطقه ناسفنده به‌طور غیر یکنواخت تحت تأثیر دگرسانی پروپیلیتیک قرار گرفته‌اند. کلریت و اپیدوت از کانی‌های اصلی در این دگرسانی هستند. این دگرسانی یکی از دگرسانی‌های متداول در سنگ‌های بازیک و حد واسط حاوی کانسارهای قیمتی اپی ترمال می‌باشد (یوریچ و هنریچ، ۲۰۰۲؛ تایتلی و بین، ۱۹۸۱؛ راب، ۲۰۰۵) که با حضور کانی‌هایی از قبیل کلریت، اپیدوت، آلبیت، کلسیت، پیریت و ... مشخص می‌شود (شهاب‌پور، ۱۳۹۰). دگرسانی



شکل ۵: الف و ب: دگرسانی کلریتی - اپیدوتی (XPL)، پ: دگرسانی کلریتی - اپیدوتی (PPL)، ت: دگرسانی اپیدوتی شدن (XPL)، ث و ج: دگرسانی هماتیتی شدن و بافت کلوفورمی (XPL).

فوگاسیته بالا بر محیط حاکم بوده است (دالستار و گوئندز، ۲۰۰۴). شاهدی که بتواند ثابت کند سیالی از میان یک توده سنگ گذشته است، نه تنها بوسیله دگرسانی بلکه بوسیله حضور رگه‌هایی که به طور مشخص با کوارتر یا یک فاز کربنات (کلسیت، دولومیت، سیدریت و ...) پر شود (شکل ۶: الف و ب)، فراهم می‌گردد.

معمولأً در سنگ‌های این زون علاوه بر هماتیت، کلسیت و اپیدوت نیز حضور دارد و به نظر می‌رسد هماتیتی شدن به واسطه نفوذ آبگون‌های غنی از Ca-Fe-Mg (دالستار و گوئندز، ۲۰۰۴) در آندزیت‌های بازالتی و بازالت‌ها به وجود آمده باشد. همزیستی هماتیت و کربنات در این سنگ‌ها نشان می‌دهد که خاستگاه احتمالی سیال، آب‌های جوی بوده و در زمان دگرسانی، شرایط اکسایش و



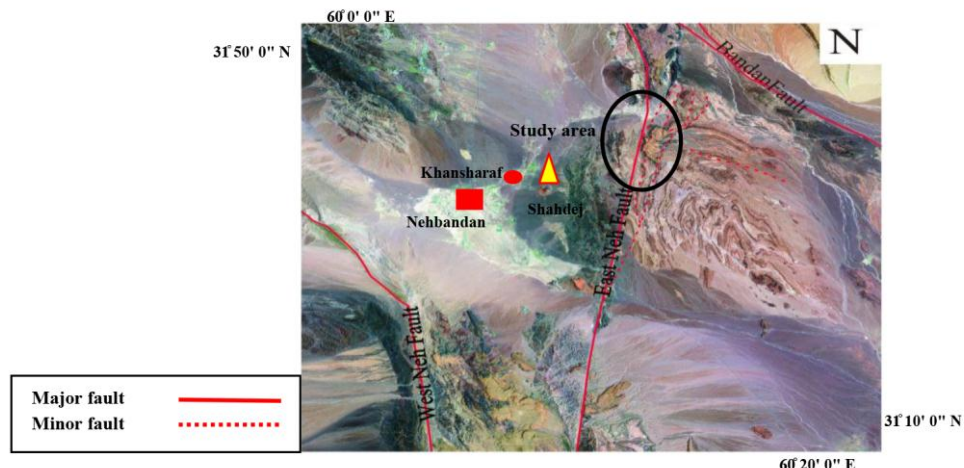
شکل ۶: الف و ب: حضور رگه‌های پر شده با کربنات در سنگ‌های مورد مطالعه.

ضخامت لیتوسفریک مشتق شده از سرعت امواج برشی نشان می‌دهد لیتوسفر در شرق ایران نازک بوده و فعالیت‌های ولکانیکی در طول گسل‌های امتداد لغز رخ داده است (والکر و همکاران، ۲۰۰۹). به نظر می‌رسد عملکرد گسل نه خاوری و گسل‌های فرعی دیگر، باعث ایجاد شکستگی و

عملکرد گسل‌ها: تشکیل کانسارهای گرمابی، نه تنها با تولید حجم‌های مهمی از سیالات در پوسته زمین بلکه با قابلیت آنها در چرخش میان سنگ و تمرکز آنها در مجراهای ساختاری (پهنه‌های برشی، گسل‌ها، برش‌ها و ...) ایجاد شده در طی دگرشکلی مرتبط است (راب، ۲۰۰۵). نقشه‌های

نموده‌اند (شکل ۷).

کاهش فشار شده و شرایط مناسبی برای خروج سریع و آسان ماقم را به سطح زمین فراهم



شکل ۷: تصویر ماهواره‌ای و موقعیت گسل‌های موجود در منطقه.

بحثی بر انکلاوها: با توجه به بررسی‌های پتروگرافی انجام شده در منطقه مطالعه، انکلاوهاي متاديوريتی، آمفیبوليتي و پيروكسنیتی و بيگانه بلورهاي كوارتز و كلينوبيروكسن (كه ذكر آن گذشت)، تشخيص داده شد.

بيگانه بلورها: از جمله بيگانه بلورهاي مشاهده شده در سنگ‌های مورد مطالعه، به بيگانه بلورهاي كوارتز می‌توان اشاره کرد. اين بيگانه بلورها در نمونه دستی دارای اندازه‌ای در حدود ۲ تا ۳ سانتی‌متر هستند (شکل ۸). اين بيگانه بلورها در سنگ‌های بخش‌های مرکزی کوه ناسفنه بيشتر مشاهده می‌شوند.

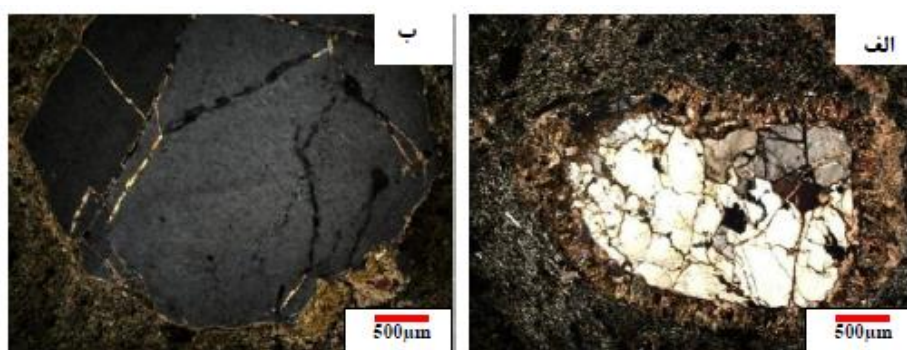
آنچه از تصاویر ماهواره‌ای تهیه شده به وسیله نرم افزار Mr-Sid بر می‌آيد (شکل ۷) نشان‌دهنده اينست که فعالیت ولکانیکی ناسفنه از نوع شکافی بوده و با توجه به جوان بودن آن شرایط ایجاد يك چرخه گرمابی را دارد. وجود رگه‌های معدنی آنتیموان در جنوب غرب نهندان و بر روی سرشاخه‌های گسل نه (زرین كوب و گرانیان، ۱۳۸۹)، وجود چشمه‌های آب معدنی در شمال منطقه و تخلخل‌های فراوان در سنگ‌های آتشفسانی ناسفنه اين پتانسیل را افزایش داده است.



شکل ۸: حضور بيگانه بلورهاي كوارتز در سنگ‌های مطالعه.

دانه‌های نامتعادل‌اند که از یک ماقمای اسیدی آمیخته با ماقمای مافیک‌تر و یا از هضم سنگ‌های کوارتزدار در یک ماقمای مافیک حاصل می‌شوند (بست، ۲۰۰۳). اگر هضم سنگ‌های کوارتزدار قابل توجه باشد، در این فرایند مقدار سیلیس ماقمای مافیک افزایش می‌یابد و در نتیجه مقداری کوارتز در زمینه سنگ مافیک می‌تواند تبلور حاصل کند.

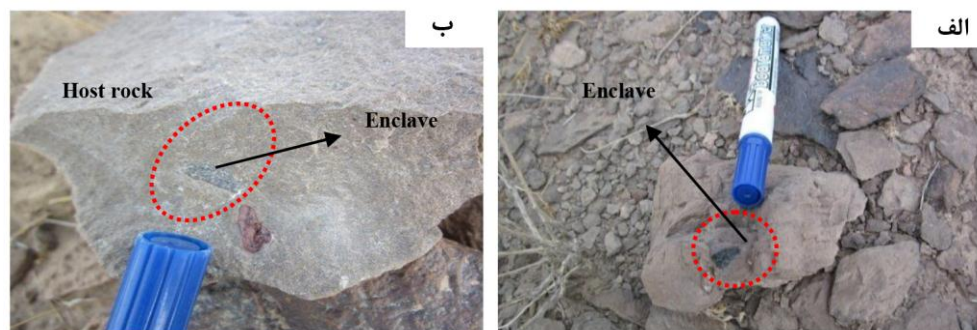
بیگانه بلورها اغلب در اثر تخریب یا واپاشی مکانیکی سنگ دیواره، هنگام جریان یا نفوذ ماقما و یا در اثر اختلاط ماقما با ماقمایی با ترکیب متفاوت (معمولًاً در حال انجماد) نتیجه می‌شوند (بست، ۲۰۰۳). بیگانه بلورهای کوارتز بی‌وجه و هضم شده که با کانی‌های مافیک در پیرامون خود همراهی می‌شوند (شکل ۹ : الف و ب) در واقع



شکل ۹: الف: بیگانه بلور کوارتز در برگرفته شده به‌وسیله کانی‌های مافیک، ب: بیگانه بلور کوارتز.

ملاحظه می‌گردد. پلاژیوکلازها به صورت بلورهای شکل‌دار و نیمه شکل‌دار و با ابعاد نسبتاً بزرگ در جهات مختلف قرار گرفته‌اند. اندک بلورهای کلینوپیروکسن ملاحظه شده معمولًاً نیمه شکل‌دار و گاهی خرد شده هستند. در این انکلاوها بقایای هورنبلندهایی دیده می‌شود که بهشت به کانی‌های اپیدوت، اپاک و کلریت دگرسان شده‌اند. این انکلاوها دارای ناگهانی با سنگ میزبان هستند.

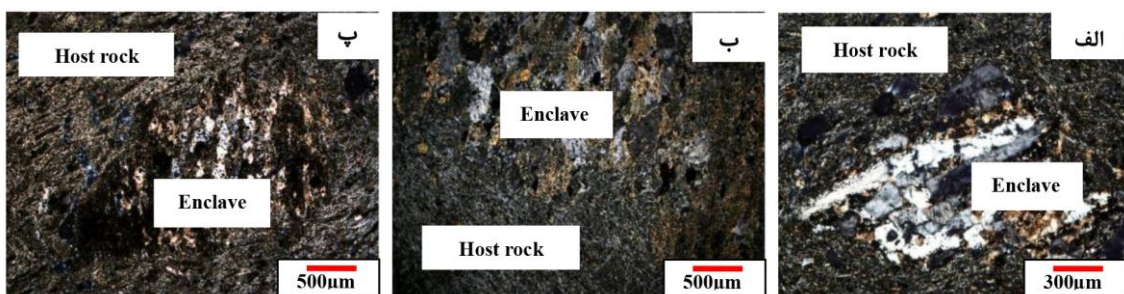
انکلاوهای متادیوریتی: انکلاوهای دیوریتی در نمونه دستی به صورت دانه ریز، بهرنگ تیره و کشیده هستند (شکل ۱۰: الف و ب). مرز این انکلاوها با سنگ میزبان ناگهانی است و دارای بافت‌های گرانولار و میکروگرانولار و گنیسی می‌باشند (شکل ۱۱). این انکلاوها حاوی پلاژیوکلاز، پیروکسن، هورنبلندهای اپیدوتی شده، بیوتیت و کانی‌های اپاک می‌باشند. کانی‌های اپاک ثانویه و کلریت ناشی از دگرسانی هورنبلند و بیوتیت نیز



شکل ۱۰: الف و ب: انکلاوهای متادیوریتی در آندزیت بازالت‌های ناسفنده.

در مagmaهای بازیک، آمفیبول‌ها به اپیدوت تبدیل شده و یک دگرگونی درجه پایین را متحمل شده‌اند و حتی می‌توان نام اپیدوت آمفیبولیت را بر آنها گذاشت. به عبارتی دیگر این انکلاوها، نشان دهنده آلایش پوسته‌ای می‌باشند. انکلاوهای میکرو‌دیوریتی موجود در سنگ‌های منطقه، بافت میکروگرانولار دارند.

بلورهای نیمه شکل‌دار و یا بی‌شکل پلاژیوکلاز فراوان‌ترین متشکله این انکلاوها است. بعضی از این انکلاوها دارای دو بخش دانه ریزتر و دانه درشت تر بوده؛ به نحوی که در بخش دانه ریزتر، مقدار هورنبلند بیشتر است. کلسیت و کانی‌های آپاک، کانی‌های دگرسانی آن می‌باشند. بلورهای بیوتیت، کم و بیش به اکسیدهای آهن دگرسان شده است. این انکلاوها، دیوریت‌هایی بوده‌اند که



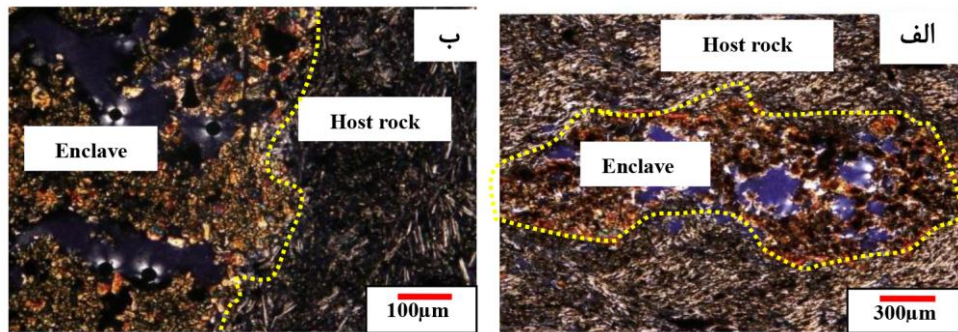
شکل ۱۱: الف و ب و پ : حضور انکلاوهای متادیوریتی با مرز شارب (XPL).

است که به نسبت‌های متفاوت وجود دارند. بیوتیت، کلینوپیروکسن، اسفن، اپیدوت و کوارتز نیز در برخی نمونه‌ها حضور دارند. کانی‌های آپاک، کلسیت و کلریت ناشی از دگرسانی هم در تعدادی از نمونه‌ها ملاحظه می‌گردند. فابریک آنها گرانوبلاستیک و موزائیکی (شکل ۱۳: الف و ب)، می‌باشد. این انکلاوها در واقع دیودریت‌هایی هستند که تحت تأثیر فرایندهای دگرگونی درجه ضعیف به آمفیبولیت تبدیل شده‌اند.

انکلاوهای اپیدوت - آمفیبولیتی: فراوان‌ترین انکلاوهای موجود در سنگ‌های آتش‌شانی منطقه، انکلاوهای آمفیبولیتی می‌باشند (شکل ۱۲). این انکلاوها، دارای رنگ سبز تیره بوده و ابعاد آنها در نمونه دستی در حد چند سانتی‌متر است. انکلاوهای آمفیبولیتی به اشکال مختلف و نامنظم دیده شده و دارای مرز ناگهانی با سنگ میزبان هستند. مهم‌ترین کانی‌های آنها، هورنبلندهای سبز (سبز مایل به قهوه‌ای و قهوه‌ای) و پلاژیوکلاز



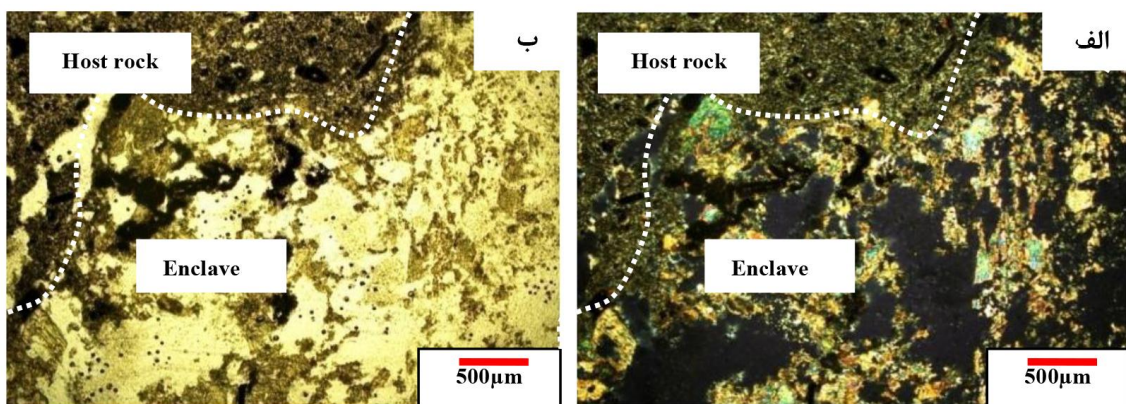
شکل ۱۲: حضور انکلاوهای اپیدوت-آمفیبولیتی در سنگ‌های منطقه مورد مطالعه.



شکل ۱۳: الف و ب: انکلاوهای اپیدوت آمفیبولیتی با فابریک گرانوبلاستی و موزاییکی (XPL).

با زالت‌های ناسفنده دارای بافت تجمعی و خورده‌گی می‌باشند (شکل ۱۴: الف و ب). با توجه به این که این انکلاوهای احتمالاً منشاء گوشه‌ای دارند، حضور آنها مؤید صعود سریع مagma از عمق زیاد می‌باشد (ژو و همکاران، ۲۰۰۵). انکلاوهای می‌توانند نشانه‌هایی از سنگ اولیه ذوب نشده گوشه‌های فوقانی باشند که در magma در حال صعود بدام افتاده‌اند (استرانلی و همکاران، ۱۹۷۹). انکلاوهای گوشه‌ای اطلاعات مهمی از ترکیب پوسته تحتانی، تکامل پتروژنتیکی magma و منشاء گوشه‌های علاوه اهمیت ژئودینامیکی فعالیت‌های آذرین در یک ناحیه را فراهم می‌کنند (شگ و همکاران، ۲۰۱۰).

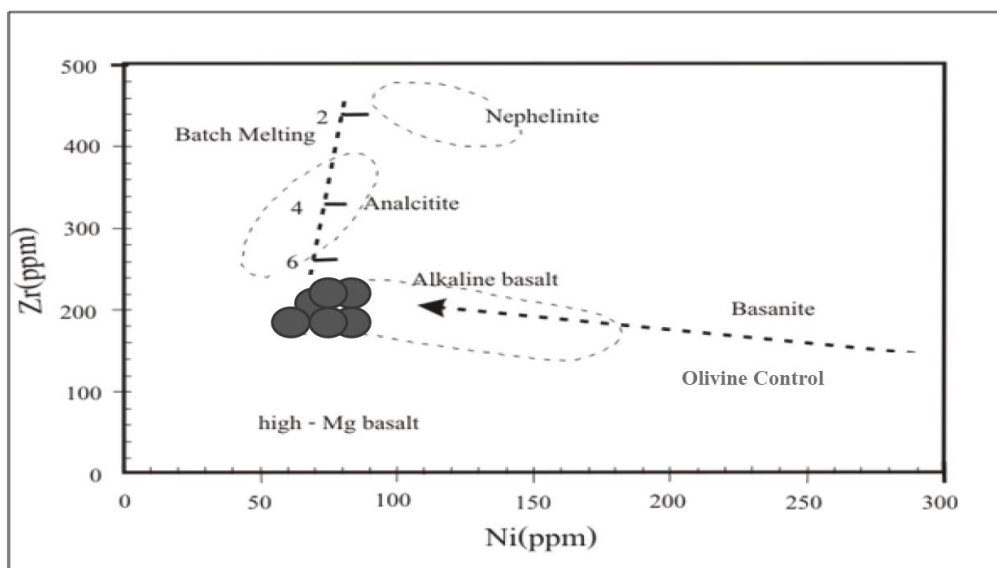
انکلاوهای کلینوپیروکسنیتی: برای مطالعه بخش‌های داخلی زمین و خصوصاً پوسته تحتانی و جبهه فوقانی، نقش انکلاوهای از اهمیت خاصی برخوردار است. این انکلاوهای در اشكال فوق مافیک موجود در بازالت‌های آکالان و کیمبرلیت‌ها و نیز در سنگ‌های فوق تیره نوع آپی و پریدوتیت‌های حرارت بالا که بر اثر فعالیت‌های تکتونیکی به سطح رسیده‌اند، دیده می‌شود. انکلاوهای اولترامافیک و مافیک و مگاکریست‌های یافت شده در بازالت‌های آکالان، کیمبرلیت‌ها و لامپروفیرها از بخش‌های جبهه فوقانی و یا حداقل پوسته تحتانی مشتق شده‌اند (ژو و همکاران، ۲۰۱۲). انکلاوهای کلینوپیروکسنیتی موجود در آکالان -



شکل ۱۴ : الف : انکلاوهای پیروکسنیتی در سنگ‌های آتشفسانی ناسفنده، XPL ، ب: همان تصویر در PPL.

های ماقمایی مختلف تعلق دارند و یکی از مهمترین کاربرد نتایج آنالیز شیمیایی در مباحث پترولوژی، استفاده از این نتایج در تعیین سری ماقمایی می‌باشد. بر اساس نمودار Zr-Ni (کندیه، ۲۰۰۱)، سنگ‌های مورد مطالعه در محدوده آلکالی بازالت‌ها قرار می‌گیرند (شکل ۱۵).

جایگاه تکتونیکی: نتایج حاصل از آنالیزهای شیمیایی سنگ‌های آتشفشانی ناسفنده در جدول ۱ آمده است. برای تعیین ماهیت ماقمای مولد سنگ‌های آذرین و یا به عبارتی تعیین سری ماقمایی آنها تاکنون نمودارهای متعددی استفاده شده است. به طور کلی سنگ‌های آذرین به سری-



شکل ۱۵: جایگاه نمونه‌های مورد مطالعه در نمودار Zr-Ni (کندیه، ۲۰۰۱)

(پیرس و کان، ۱۹۷۳) استفاده شد. در نمودار وود (۱۹۸۰)، محدوده بازالت‌های پشت‌های میان اقیانوسی نوع نرمال (N-MORB)، بازالت‌های E-پشت‌های میان اقیانوسی نوع غنی شده (WAP)، بازالت‌های قلیایی درون صفحه‌ای (CAB) و محدوده بازالت‌های کمان آتشفشانی (Ta)

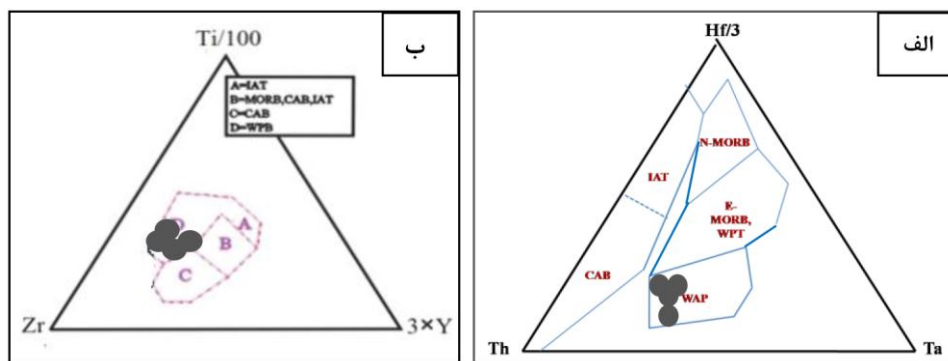
جایگاه تکتونیکی، نوع ماقما و روند تکامل آن تأثیر بسزایی بر روی شیمی عناصر دارد و غلظت عناصر در سنگ‌های آذرین تابعی از غلظت این عناصر در منشاء، درصد ذوب‌بخشی، فرایند تبلور، تفریق و تأثیر آلایش پوسته‌ای است (ویلسون، ۲۰۰۷). برای تعیین جایگاه تکتونیکی سنگ‌های آتشفشانی مورد مطالعه از نمودار مثلثی Hf/3-Th-Ti/100-Zr-Y (وود، ۱۹۸۰) و نمودار مثلثی Ta

جدول ۱: نتایج تجزیه شیمیایی عناصر اصلی (بر حسب درصد) و عناصر کمیاب و نادر خاکی (ppm) سنج‌های آتشفشنای منطقه ناسفنده.

Sample	90-Na-14	90-Na-21	90-Na-34	90-Na-50	90-Na-59	90-Na-64	90-Na-69	90-Na-86	90-Na-89	90-Na-94
SiO₂	۴۸/۵۸	۵۴/۴۸	۴۸/۷۲	۵۱/۳۴	۵۰/۳۲	۵۳/۴۴	۵۰/۷۳	۵۴/۳۹	۵۴/۵۸	۵۴/۹۱
TiO₂	۲/۲۱	۲/۲۱	۲/۴۹	۲/۰۲	۱/۹۵	۱/۵۹	۲/۱۳	۱/۶۲	۱/۵۴	۱/۵۶
Al₂O₃	۱۵/۴۹	۱۷/۰۸	۱۵/۵۴	۱۵/۸۸	۱۵/۸۳	۱۶/۶۷	۱۵/۶۸	۱۶/۹۴	۱۶/۵	۱۶/۵
Fe₂O₃^t	۸/۸۵	۶/۳۹	۹/۸۶	۸/۵۸	۸/۰۲	۶/۷۷	۸/۲۲	۶/۵۲	۶/۳	۶/۵۱
MnO	۰/۱۲	۰/۰۹	۰/۱۳	۰/۱۲	۰/۱۱	۰/۰۹	۰/۱۱	۰/۰۹	۰/۰۸	۰/۰۸
MgO	۵/۹۲	۳/۸۶	۵/۹۶	۵/۴۵	۴/۰۹	۴/۰۳	۴/۲۲	۳/۸۶	۳/۶۸	۳/۷۸
CaO	۹/۹۰	۷/۶۱	۹/۴۷	۹/۱۱	۹/۹۱	۸/۱۲	۹/۸۵	۷/۷۶	۷/۸۵	۷/۴۷
Na₂O	۴/۶	۵/۵۲	۴/۶۲	۴/۸۴	۴/۸۹	۵/۵۱	۴/۹۴	۵/۴۳	۵/۵۲	۵/۵۹
K₂O	۱/۵۸	۱/۴۲	۱/۳۹	۱/۳۸	۱/۳۴	۱/۳۲	۱/۵۱	۱/۴۳	۱/۳۸	۱/۰۱
P₂O₅	۱/۱۶	۰/۹	۱/۱۲	۱/۰۲	۱/۰۹	۰/۹	۱/۰۶	۰/۹۲	۰/۸۳	۰/۸۱
LOI	۱/۶۱	۰/۷۸	۱/۱۳	۰/۸۵	۱/۹۶	۱/۱	۱/۷۹	۰/۸۲	۱/۱۹	۱/۵۶
Sum	۱۰۰/۲	۹۹/۷	۱۰۰/۵	۱۰۰/۷	۹۹/۶	۹۹/۵	۱۰۰/۲	۹۹/۹	۹۹/۳۸	۹۹/۵
Ba	۴۸۰	۳۵۰	۳۵۰	۴۷۰	۴۲۰	۶۲۰	۴۵۰	۳۴۰	۳۳۰	۴۷۰
Sr	۱۵۶۰	۱۲۰۰	۱۱۳۰	۲۲۳۰	۱۵۷۰	۲۲۹۰	۱۷۴۰	۱۱۸۰	۱۱۹۰	۲۷۳۰
Zn	۱۲۸	۱۰۲	۱۲۸	۱۱۶	۱۱۴	۱۱۰	۱۰۸	۱۰۶	۱۰۸	۱۰۷
Cs	۱/۲	۰/۷	۰/۸	۰/۵	۱/۱	۰/۹	۰/۷	۰/۷	۰/۹	۰/۸
Co	۲۹/۳	۲۰/۱	۳۴/۶	۲۸/۳	۲۶/۷	۲۱/۵	۲۷/۲	۲۰/۷	۲۰/۳	۱۹/۹
Rb	۲۷/۳	۱۶/۶	۲۵/۱	۱۸/۷	۲۰/۴	۱۶/۸	۱۸/۲	۱۶/۱	۱۷/۴	۱۶/۳
Cu	۸۵	۶۲	۱۱۵	۸۸	۷۲	۷۲	۷۸	۶۸	۶۴	۶۱
Hf	۶	۵	۶	۶	۶	۵	۶	۵	۵	۵
Mo	۲>	۲>	۲>	۲>	۲>	۲>	۲>	۲>	۲>	۲>
Nb	۳۰	۲۴	۲۷	۳۰	۳۱	۲۴	۳۱	۲۶	۲۴	۲۴
Ni	۵۹	۴۹	۸۰	۵۶	۵۸	۵۷	۵۴	۴۹	۴۵	۴۵
Ag	۱>	۱>	۱>	۱>	۱>	۱>	۱>	۱>	۱>	۱>
Sn	۱	۲	۲	۲	۲	۲	۱	۲	۱	۲
Ga	۲۱	۲۱	۲۳	۲۱	۲۱	۲۱	۲۱	۲۱	۲۲	۲۱
Ta	۱/۹	۱/۴	۲/۳	۱/۹	۱/۹	۱/۴	۱/۸	۱/۵	۱/۴	۱/۵
Th	۴/۲	۵/۳	۳/۹	۴/۷	۴/۸	۵/۰	۴/۳	۵/۱	۵/۲	۴/۸
Zr	۲۲۶	۲۲۹	۲۶۷	۲۲۳	۲۳۴	۲۲۶	۲۲۳	۲۴۰	۲۴۰	۲۳۷
U	۰/۶۴	۰/۷۳	۰/۵۲	۰/۸۲	۰/۷۰	۰/۸۹	۰/۷۷	۰/۷۳	۰/۷۹	۱/۰۲
V	۲۲۴	۱۰۱	۲۶۲	۲۶۵	۱۶۹	۱۲۳	۱۷۷	۱۰۷	۱۱۸	۱۲۵
W	۱>	۱>	۱>	۱>	۱>	۱>	۱>	۱>	۱>	۱>
La	۵۴/۹	۵۰/۴	۴۸/۸	۵۴/۹	۶۰/۵	۵۰/۸	۷۸/۰	۴۹/۵	۴۸/۵	۴۳/۹
Ce	۱۲۰	۱۰۰	۱۱۲	۱۱۸	۱۲۵	۱۰۲	۱۴۳	۱۰۰	۹۸/۰	۹۰/۶
Pr	۱۴/۵	۱۱/۵	۱۳/۹	۱۳/۸	۱۴/۵	۱۱/۴	۱۶/۴	۱۱/۳	۱۱/۱	۱۰/۵
Nd	۵۵/۵	۴۲/۷	۵۳/۴	۵۱/۰	۵۴/۵	۴۳/۵	۶۱/۰	۴۲/۴	۴۱/۵	۳۹/۴
Sm	۹/۷	۷/۲	۱۰/۱	۸/۷	۸/۷	۶/۸	۹/۷	۷/۵	۶/۸	۶/۳
Eu	۲/۷۹	۱/۹۵	۲/۶۳	۲/۴۷	۲/۴۱	۲/۰۷	۲/۶۴	۲/۰۷	۲/۰۴	۱/۸۸
Gd	۶/۹۹	۵/۲۴	۷/۶۱	۶/۹۱	۶/۴۱	۵/۵۵	۷/۵۵	۵/۳۰	۵/۲۱	۵/۵۶
Ho	۰/۸۴	۰/۶۱	۰/۹۸	۰/۸۴	۰/۷۸	۰/۶۳	۰/۸۵	۰/۶۲	۰/۸۸	۰/۵۲
Er	۲/۰۵	۱/۵۲	۲/۱۶	۲/۰۴	۱/۷۳	۱/۶۷	۱/۹۷	۱/۵۵	۱/۷۸	۱/۳۸
Tm	۰/۲۲	۰/۲۰	۰/۲۹	۰/۲۷	۰/۲۲	۰/۲۰	۰/۲۸	۰/۱۸	۰/۱۷	۰/۱۶

آتشفشنایی در داخل صفحات، مختلف بوده و هنوز به خوبی درک نشده است. بیشتر آتشفشنایی‌ها داخل صفحات به منشاء (الف) پلومهای گوشته و نقاط داغ، (ب) ریفت‌های قاره‌ای، (ج) کشش پشت قوس، (د) لایه لایه شدن و نازک شدن لیتوسфер، نسبت داده شده است (چن، ۲۰۰۷). در محیط‌های تکتونیکی کششی، تولید ماقما در ارتباط با نازک شدن لیتوسfer به علت فشارهای داخل صفحه می‌باشد.

نمودار پیرس و کان (۱۹۷۳)، بازالت‌های فوران یافته در داخل صفحات (D)، بازالت‌های کالک-آلکالن (C)، بازالت‌های کف اقیانوس، بازالت‌های کالک آلکالن و تولئیت‌های جزایر اقیانوسی (B) و بازالت‌های تولئیتی فقیر از پتابسیم مربوط به جزایر قوسی (A) را از هم متمایز می‌نماید. بر اساس این نمودارها، سنگ‌های مورد مطالعه در محدوده D (بازالت‌های قلیابی درون صفحات)، و WAP (بازالت‌های فوران یافته در داخل صفحات)، قرار می‌گیرند (شکل ۱۶: الف و ب). منشاء فعالیت



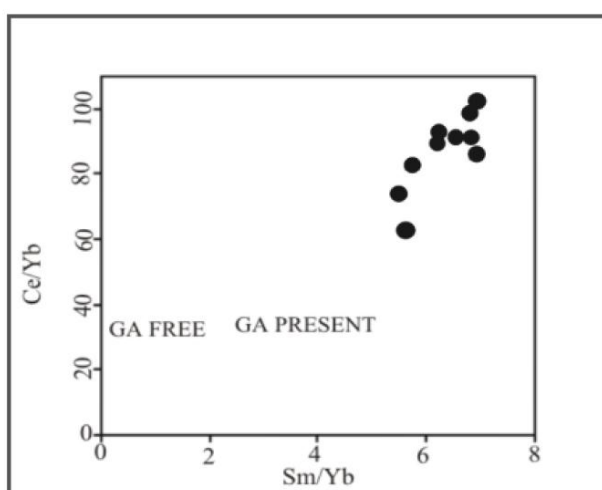
شکل ۱۶: الف: نمودار Th-Hf/3-Ta (وود، ۱۹۸۰)، نمونه‌ها در محدوده بازالت‌های درون قاره‌ای قرار می‌گیرند، ب: سنگ‌های مورد مطالعه در دیاگرام تکتونوماگمایی Th-Hf/3-Ta (پیرس و کان، ۱۹۷۳)، در محدوده درون صفحات قرار می‌گیرند.

فعالیت‌های آتشفشنایی در طول گسل‌های امتداد لغز رخ داده است (والکر، ۲۰۰۹). به نظر می‌رسد عملکرد گسل نه خاوری و گسل‌های فرعی دیگر، باعث ایجاد شکستگی و کاهش فشار شده و شرایط مناسبی برای خروج سریع و آسان ماقما را به سطح زمین فراهم نموده‌اند. ماقما در اثر صعود و توقف در سطوح مختلف پوسته، مراحلی از جدایش و آلایش را پشت سر گذاشته است. نمودار تغییرات Ce/Yb در مقابل Sm/Yb (کوبان، ۲۰۰۷)، به منظور نشان دادن حضور و یا عدم حضور گارنت در ناحیه منشاء سنگ‌های مورد مطالعه به کار می‌رود. نسبت Sm/Yb به عنوان

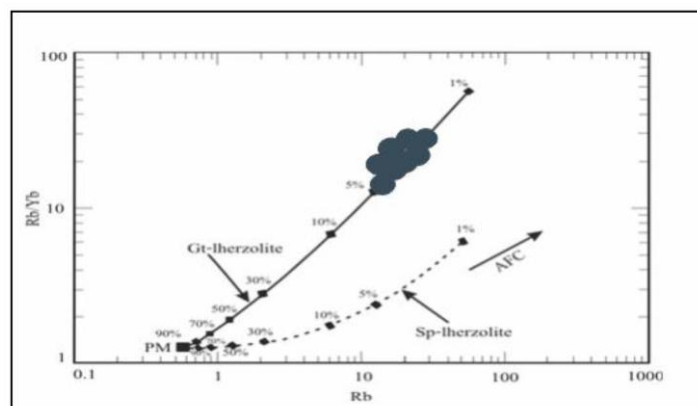
میزان کشش و در نتیجه درصد کاهش فشار در تعیین ماهیت مذاب تولید شده نقش دارد؛ به این صورت که در کشش‌های کم، درصد ذوب‌بخشی کم بوده و مذاب تولید شده ماهیت آلکالن دارد و با افزایش کشش و در نتیجه افزایش درصد ذوب بخشی ماهیت ماقما به سمت تحولی و ساب آلکالن پیش می‌رود (ویلسون، ۲۰۰۷). توزیع گدازه‌های پلیو-کواترنری شرق ایران به طور عمده در محیط‌هایی که ضخامت لیتوسfer کمتر از ۱۲۵ کیلومتر است، رخ داده است. نقشه‌های ضخامت لیتوسفریک مشتق شده از سرعت امواج برشی نشان می‌دهد لیتوسfer در شرق ایران نازک بوده و

ذوب‌بخشی گوشه‌ته از نمودار Rb/Yb در برابر Ce/Yb (ازدمیر و همکاران، ۲۰۰۶)، استفاده شد. دلیل استفاده از این نمودار آن است که گارنت کانی اصلی نگهدارنده Yb است و نسبت متغیر Rb/Yb وابسته به گارنت بوده و بین ذوب گوشه‌ته اسپینل لرزولیتی و گارنت لرزولیتی تفاوت قائل می‌شود (ازدمیر و همکاران، ۲۰۰۶). بر اساس این نمودار، روند داده‌های نمونه‌های سنگی مورد بررسی بر منحنی ذوب لرزولیت گارنت‌دار (منحنی ممتد) منطبق بوده و بیانگر حدود ۴ درصد ذوب گارنت در تولید ماقماً تشکیل دهنده این سنگ‌ها می‌باشد (شکل ۱۸).

نسبت یک عنصر سازگار به ناسازگار، جهت شناسایی کانی‌شناسی منشاء مورد استفاده قرار می‌گیرد. ذوب‌بخشی از یک منبع گارنت‌دار، مذابی با مقادیر Sm/Yb بالاتر از $2/5$ ، نسبت به منشاء تولید می‌کند (آلدانماز و همکارن، ۲۰۰۰). بنابراین نسبت‌های این عناصر می‌توانند به خوبی نشان دهنده حضور و یا عدم حضور گارنت در ناحیه منشاء ماقماً باشند. با توجه به این که نمونه‌های سنگی مورد مطالعه دارای نسبت‌های Sm/Yb بالاتر از $2/5$ می‌باشند، حضور گارنت در ناحیه منشاء تأیید می‌شود (شکل ۱۷). برای توصیف و ارزیابی منشاء سنگ‌های بازالتی شرق نهیندان و احتمال شکل‌گیری این سنگ‌ها از



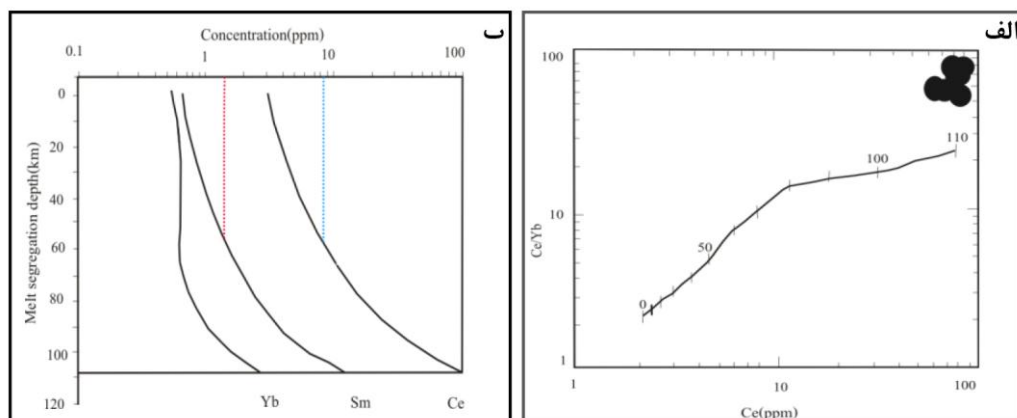
شکل ۱۷: موقعیت نمونه‌های مورد مطالعه در نمودار تغییرات Ce/Yb در مقابل Sm/Yb (کوبان، ۲۰۰۷)



شکل ۱۸: نمودار Rb/Yb - Rb (ازدمیر و همکاران، ۲۰۰۶)، برای نمونه‌های مورد مطالعه که بیانگر حدود ۴ درصد ذوب منشاء گارنت لرزولیتی است.

نمودار میانگین مقادیر عناصر فوق، در محور لگاریتمی X قرار می‌گیرند. سپس با رسم خطوط موازی با محور Y منحنی‌های معرف عنصر Sm، Ce و Yb را در هر نقطه‌ای قطع کند از آن نقطه خطی به موازات X رسم تا محور Y را قطع کند. اعداد بدست آمده عمق ذوب می‌باشد. عمق‌های به دست آمده در حدود ۶۰ تا ۱۱۰ کیلومتر است که نشان دهنده ذوب‌بخشی در محدوده گارنت لرزولیتی و از یک منبع گوشه‌های لیتوسفیری است (شکل ۱۹: ب).

تعیین عمق ذوب‌بخشی منشاء با استفاده از نمودار تغییرات Ce/Yb در مقابل Ce (الام، ۱۹۹۱)، صورت گرفت. به اعتقاد وی نسبت‌های REE نظیر Ce/Yb در طی فرایند تبلور تفریقی تغییر چندانی نمی‌کند و می‌توانند شاخص خوبی برای تعیین عمق باشند. عمق‌های بدست آمده از این نمودار در حدود ۱۱۰ کیلومتر است (شکل ۱۹: الف). همچنین الام (۱۹۹۱)، مدل دیگری را بر اساس تمرکز میانگین عناصر Sm، Ce و Yb در مقابل عمق جدایش ماقما طراحی کرد. در این



شکل ۱۹: الف: نمودار Ce/Yb در مقابل Ce، ب: نمودار تمرکز میانگین عناصر Sm، Ce و Yb در مقابل عمق جدایش ماقما (الام، ۱۹۹۱).

کربنات و دگرسانی پروپیلیتیک شواهدی از حاصلخیزی مجموعه آتشفشاری مورد بررسی می‌باشد و احتمال وجود کانه‌زایی اپیترمال را تقویت می‌کند. از دیگر پدیده‌های قابل ذکر در سنگ‌های آتشفشاری ناسفنده می‌توان به حضور انکلاوهای مختلف اپیدوت-آمفیبولیتی، پیروکسنیتی و متادیوریتی اشاره کرد. با توجه به این‌که انکلاوهای پیروکسنیتی احتمالاً منشاء گوشه‌های دارند، حضور آنها مؤید صعود سریع ماقما از عمق زیاد می‌باشد. ویژگی‌های شیمیایی نمونه‌های مورد مطالعه بیانگر شکل‌گیری آنها در محیط‌های درون صفحه‌ایست. تعیین عمق ذوب‌بخشی منشاء با

نتیجه گیری

سنگ‌های آتشفشاری ناسفنده در بخش شمالی ایالت ساختاری سیستان، رخمنون دارند. جایگیری مجموعه ولکانیکی پلیو-کواترنری ناسفنده در داخل سازندهای میزبان رسوی و عبور گسل نه شرقی (یکی از سرشاخه‌های گسل نه‌بندان) از این سازندها، باعث ایجاد گسل‌ش و شکستگی در سنگ‌های مزبور شده که این محل‌ها، محیطی مناسب برای عبور سیالات گرمابی، کانه‌زایی و تهنشینی کانه‌های همراه آنها می‌باشد. وجود انکلاوهای مختلف وجود چشم‌های آب معدنی، بافت حفره‌ای، رگچه‌های پر شده با

کاهش فشار شده و شرایط مناسبی برای خروج سریع و آسان ماسماگما را به سطح زمین فراهم نموده- اند. در کشش‌های کم، درصد ذوب‌بخشی کم بوده و مذاب تولید شده ماهیت آلکالن دارد.

استفاده از نمودارهای مختلف، عمق‌های در حدود ۶۰ تا ۱۱۰ کیلومتر به دست می‌دهد که نشان- دهنده ذوب‌بخشی در محدوده گارنت لرزولیتی است. به نظر می‌رسد عملکرد گسل نه خاوری و گسل‌های فرعی دیگر، باعث ایجاد شکستگی و

کانی‌شناسی ایران. سال هجدهم، شماره ۱، ص ۵۲-۴۱.
-شهاب‌پور، ج.، ۱۳۹۰. زمین‌شناسی اقتصادی، انتشارات دانشگاه شهید باهنر کرمان، ۵۴۷ ص.
علوی نائینی، م. و لطفی، م.، ۱۹۸۹. نقشه زمین‌شناسی ۱:۱۰۰،۰۰۰ نهبدان، سازمان زمین‌شناسی و اکتشافات معدنی کشور (برگ شماره ۸۰۵۳).
-کریم‌پور، م.ح. و سعادت، س.، ۱۳۸۱. زمین‌شناسی اقتصادی کاربردی، نشر مشهد، ۵۳۵ ص.

-Aldanmaz, E., Peare, J.A., Thirlwall, M.F. and Mitchel, J.G., 2000. Petrogenetic Evolution of late Cenozoic, Post-collision Volcanism in Weatern Anatolia, Turkey, Journal of Volcanology and Geothermal Research, v.102, p.67-95.
-Barton, M.D. and Johnson, D.A., 2000. Aternative brine sources for Fe oxide (Cu-Au) systems: Implications for hydrothermal alteration and metals, in porter, T.M., ed., hydrothermal iron oxide copper-gold and related deposits, A global perspective" Adelaide, Australian Mineral Foundation 2. p. 43- 60.
-Best, M.G., 2003. Igneous and Metamorphic Petrology, Blackwell Publishing, USA. 729 p.
-Broker, M., Fotoohi Rad, G. R. and Thunissen, S., 2010. New time constraints for HP metamorphism and exhumation of melange rocks from the

منابع

-خطیب، م.م.، سالاروند، ا. و بومری، م.، ۱۳۸۷. تأثیر حرکات سیستم گسلی نهبدان بر مورفولوژی اطراف شهر نهبدان، مجله جغرافیا و توسعه، شماره ۱۲۵، ص ۲۴-۵.
-زرین‌کوب، م.ح. و گرانیان، ح.، ۱۳۸۹. کانی‌شناسی و زمین‌شیمی رگه‌های آنتیمون - طلدار در جنوب نهبدان، خاور ایران، مجله بلورشناسی و

Sistan suture zone, eastern Iran, An abstract paper in Turkey Symposium: Tectonic Crossroads: Evolving orogens of Eurasia–Africa – Arabia, Ankara, Turkey, 520 p.

-Chen, Y., 2007. Geochemistry of Cenozoic basalts and mantle xenoliths in Northeast China, Lithos, v. 96, p.108-126.

-Coban, H., 2007. Basalt magma genesis and fractionation in collision- and extension related provinces: A comparison between eastern, central and western Anatolia, Earth Science Reviews, v.80, p.219- 238.

-Condie, K.C., 2001. Mantle Plumes and their Record in Earth's History, Cambridge University Press, 306 p.

-Cooke, D.R. and Simmons, S.F., 2000. Characteristics and genesis of epithermal gold deposits, Reviews in Economic Geology, v.13, p. 44-221.

-Dalstra, H. and Guedes, S., 2004. Giant hydrothermal hematite deposits with

- Mg-Fe metasomatism a comparison of the Carajas, Hamersley, and other Iron", Geology, v.99, p. 1793-1800.
- Ellam, R.M. and Cox, K.G., 1991. An interpretation of Karoo picrate basalts in terms of interaction between asthenospheric magmas and the mantle lithosphere, Earth Plan SciLett, v.105, p. 330 - 342.
- Evans, A.M., 1992. Ore Geology and Industrial Minerals, Blackwell-Sci, Pub, 390 p.
- Hedenquist, J.W., Arribas, R.A. and Gonzalez, U.E., 2000. Exploration for epithermal gold deposits. In S. Hagemann and P.E. Brown, Gold in 2000. Society of Economic Geologists, Reviews in Economic Geology, v.13, p.77-245.
- McKenzie, D. and O'Nions, R.K., 1991. Partial melt distributions from inversion of rare earth element concentrations, Journal of Petrology, v.32, p. 1021-1091.
- Ozdemir, Y., Karaoglu, O., Tolluoglu, A.U. and Gulec, N., 2006. Volcanostratigraphy and Petrogenesis of the Nemrut Stratovolcano (East Anatolian high Plateau): The most recent Post-collisional Volcanism in Turkey, Journal of Chemical Geology, v.226, p.189-221.
- Pearce, J.A. and Cann, J.R., 1973. Tectonic setting of basic volcanic rocks determined using trace element analyses, Earth Planet Science Letters, v.19, p. 290-300.
- Purra, V., Kirsimae, K., Karki, A., Kirs, J., Suuroja, K. and Polikarpus, M., 2004. Hornblende alteration in impact-influenced basement rocks at the Kardla Impact Crater, Estonia: Institute of Geosciences, University of Oulu, Finland, Geological Survey of Estonia, p.1-2.
- Robbe, L., 2005. Introduction to ore - Forming Processes: Blackwell, 146p.
- Silberman, M.L. and Berger, B.R., 1985. Relationship of trace-element patterns to alteration and morphology in epithermal precious-metal deposits, Reviews in Economic Geology, p.203-232.
- Schegg, C., Ntaflos, T., Seghedi, I., Harangi, S., Kosler, J. and Coltorti, M., 2010. Paleogene alkaline magmatism in the South Carpathians (Poiana Rusă, Romania): Asthenosperic melts with geodynamic and lithospheric information, Lithos, v. 120, p. 393-406.
- Shaw, D.M., 1970. Trace element fractionation during anatexis. Geochimica et Cosmochimica Acta 34, p. 237-243.
- Stranley, E., Evans, J.R. and Nash, W.P., 1979. Petrogenesis of xenoliths-bearing basalts from southeastern Arizona, American Mineralogist, v.64, p.249-267.
- Tirrul, R., Bell, L.R., Griffis, R.J. and Camp, V.E., 1983. The Sistan suture zone of eastern Iran, Geological Society of America Bulletin, v. 84, p.134-140.
- Titley, S.R. and Beane, R.E., 1981. Porphyry copper deposits, Part 1. Geologic settings, Petrology, and tectonogenesis, Economic Geology, 75th Anniversary Volume, p. 214-235.
- Ulrich, T. and Heinrich, C.A., 2002. Geology and alteration geochemistry of the Porphyry Cu-Au Deposit at Bajo de la Alumbra, Argentina", Economic Geology, v.97, p.1865- 1888.
- Vernon, R.H., 2004. A Practical Guide to Rock Microstructure: Cambridge, England, 572 p.
- Walker, R.T., Gans, P., Allen, M.B., Jackson, J., Khatib, M.M., Marsh, N. and Zarrinkoub, M.M., 2009. Late Cenozoic volcanism and rates of active faulting in eastern Iran, Journal MSP, 23p.
- Warren, I., Simmons, S.F. and Mauk, J.L., 2007. Whole- rock geochemical techniques for evaluating hydrothermal

- alteration, mass changes, and compositional with epithermal Au-Ag mineralization, *Economic Geology*, v. 102, p. 923-948.
- Wilson, M., 2007. *Igneous Petrogenesis*: Unwin Hyman, Lond, 466 p.
- Whitney, D. and Evans, B.W., 2010. Abbreviations for names of rock-forming minerals, *American Mineralogist*, v. 95, p.185–187.
- Wood, D.A., 1980. The application of a Th-Hf-Ta diagram to problems of tectonomagmatic classification and to establishing the nature of crustal contamination of basaltic lavas of the British Tertiary volcanic province, *Earth and Planetary Science Letters*, v.50, p.11-30.
- Xu, Y.G., Ma, J.L., Frey, F., Feigenson, M. and Liu, J.F., 2005. Role of lithosphere asthenosphere interaction in the genesis of Quaternary alkali and tholeiitic basalts from Datong, western North China Craton, *Chemical Geology*, v. 224, p.247- 271.
- Xu, Z., Zhao, Z. and Zheng, Y.F., 2012. Slab–mantle interaction for thinning of cratonic lithospheric mantle in North China: Geochemical evidence from Cenozoic continental basalts in central Shandong, *Lithos*, v.146-147, p. 202-217.
- Zarrinkoub, M.H., Pang, K.N., Chung, S.L., Khatib, M.M., Mohammadi, S.S., Chiu, H.Y. and Lee, H.Y., 2012. Zircon U-Pb age and geochemical constraints on the origin of the Birjand ophiolite, Sistan suture zone, eastern Iran, *Lithos*, v.154, p. 392-405.